

1. Publicação nº <i>INPE-2388-PRE/108</i>	2. Versão	3. Data <i>AbriL, 1982</i>	5. Distribuição <input type="checkbox"/> Interna <input checked="" type="checkbox"/> Externa <input type="checkbox"/> Restrita
4. Origem <i>DSE/DDO</i>	Programa <i>ORBAT</i>		
6. Palavras chaves - selecionadas pelo(s) autor(es) <i>MARES TERRESTRES</i> <i>PERTURBAÇÕES EM SATELITES</i>			
7. C.D.U.: 521.3:629.7.076.6			
8. Título	<i>INPE-2388-PRE/108</i>		
<i>PERTURBAÇÃO DEVIDA À MARES EM SATELITES ARTIFICIAIS</i>			10. Páginas: 13
			11. Última página: 10
			12. Revisada por <i>Saet</i>
			<i>Santiago Alves Tavares</i>
			13. Autorizada por <i>Nelson de Jesus Parada</i> <i>Parada</i> <i>Diretor</i>
Assinatura responsável 			
14. Resumo/Notas  <i>Trata-se de um modelo teórico para o cálculo da influência de mares na órbita de satélites artificiais.</i>			
15. Observações <i>Este trabalho foi apresentado na III Escola de Matemática Aplicada, realizada de 15/02 à 19/02 de 1982 no Laboratório de Computação Científica, Rio de Janeiro, R.J. Será publicado nos Anais da SBMAC</i>			

ABSTRACT

*A theoretical model is presented to compute the tide influences over orbits of artificial satellites.*

PERTURBAÇÃO DEVIDA À MARES EM  
SATÉLITES ARTIFICIAIS

H. U. Pilchowski

CONSELHO NACIONAL DE DESENVOLVIMENTO CIENTÍFICO E TECNOLÓGICO  
CNPq

INSTITUTO DE PESQUISAS ESPACIAIS  
INPE

RESUMO

Trata-se de um modelo teórico para o cálculo da influência de ma  
rés na órbita de satélites artificiais.

## 1. INTRODUÇÃO

A atração exercida pelo sol e pela lua sobre a Terra produz deslocamentos elásticos em seu interior e uma protuberância em sua superfície, como mostra a Figura 1; onde " $F_p$ " representa a força de atração no ponto "P" e " $F_T$ " no centro de gravidade "T" da Terra. Consequentemente, tem-se uma perturbação no geopotencial. Esta perturbação reflete-se como perturbação gravitacional no movimento de satélites artificiais, e é distribuída [ 3 ] como se segue:

- a) perturbação devida a deslocamentos internos  $\approx 40\%$ .
- b) perturbação devida a deslocamentos na crosta (marés terrestres)  $\approx 48\%$ .
- c) perturbação devida a marés oceânicas  $\approx 12\%$ .

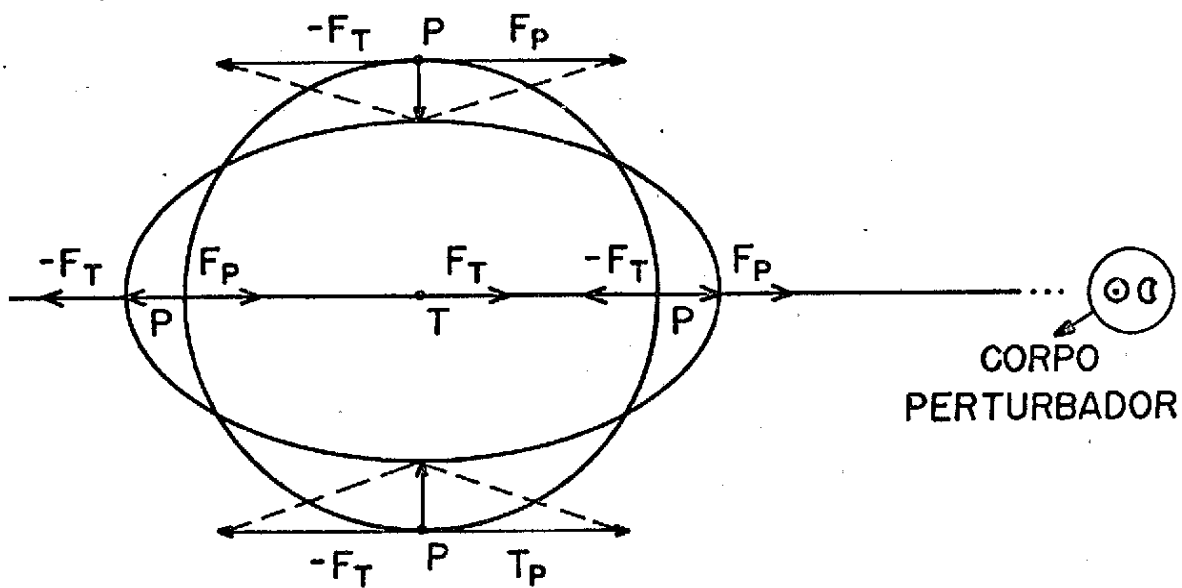


Fig. 1 - Deslocamento elástico da Terra, devida à atração de um corpo perturbador (sol e lua).

Na prática toma-se o globo terrestre como "um todo", utilizando-se os "Números de Love" ( $k_n$ ), e as perturbações mais significativas são causadas pelas seguintes ondas de maré:

- a) Diurnas:  $K_1$  - Onda declinação (S,L);  
 $O_1$  - Principal onda diurna (L);  
 $P_1$  - Principal onda diurna (S).

- b) Semidiurnas:  $M_2$  - Principal onda semidiurna (L);  
 $S_2$  - Principal onda semidiurna (S);  
 $N_2$  - Maior onda elíptica devida a  $M_2$  (L).

$K_1$  é a onda de maré que mais contribui para a perturbação do geopotencial e é diretamente proporcional a  $k_2$  (primeiro número de love), isto é,  $K_1 \propto k_2$ .

Números de Love:

- $k_2, k_3 \rightarrow$  variáveis (detectáveis),  
 $k_4, k_5, \dots, k_n \rightarrow$  variáveis (não-detectáveis), usadas como parâmetros.

Os números de love são globais, quando dependentes do grau dos harmônicos utilizados na expansão do geopotencial.

Os números de love são locais, quando dependentes da longitude ( $\lambda$ ) e da latitude  $\phi$ .

$\phi \rightarrow$  perturbações de longo período em satélites.

$\lambda \rightarrow$  perturbações de curto período em satélites.

Como o interesse está restrito aos efeitos de longo período, negligença-se a dependência da longitude, tomando-se apenas:

$$k_n = k_n(\phi).$$

## 2. POTENCIAL PERTURBADOR

As perturbações no geopotencial produzem um potencial externo adicional, o qual, quando desenvolvido em harmônicos, é dado por:

$$(1) W = \frac{G m^*}{r^*} \sum_{\ell=2}^{\infty} \left( \frac{r}{r^*} \right)^{\ell} P_{\ell}(\cos s)$$

onde:  $P_{\ell}$  - é o polinômio de legendre,

$r$  - o raio da Terra,

$r^*$  - a distância centro Terra-corpo perturbador,

$G$  - a constante gravitacional,

$s$  - o arco entre o ponto considerado sobre a superfície da Terra e a direção de  $r$ ,

$m^*$  - a massa do corpo perturbador, como mostra a Figura 2.

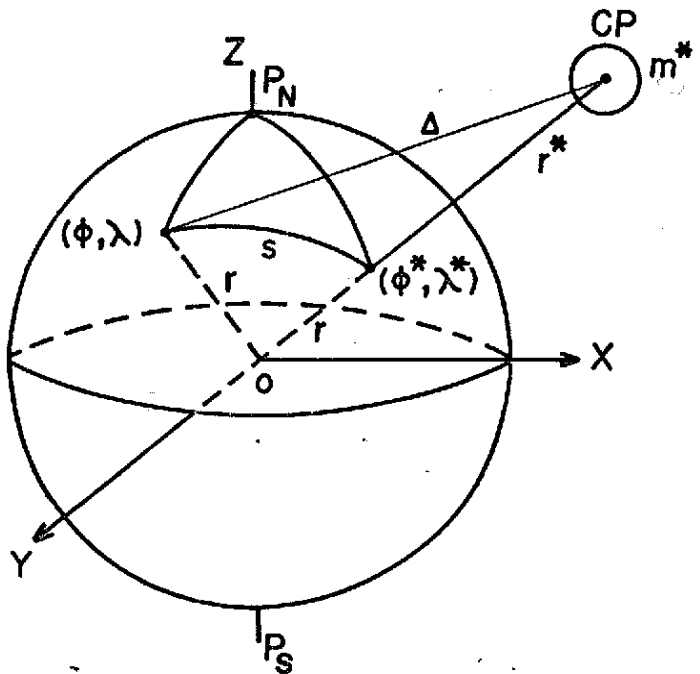


Fig. 2 - Representação para o cálculo do potencial perturbador.

Aplicando-se o teorema da adição na Expressão 1, obtém-se:

$$(2) \quad W = \frac{Gm^*}{r^*} \sum_{\ell=2}^{\infty} \left( \frac{r}{r^*} \right)^{\ell} \sum_{m=0}^{\ell} \frac{(\ell-m)!}{(\ell-m)!} (2 - \delta_{\ell m}) P_{\ell m} (\text{sen } \phi) P_{\ell m} (\text{sen } \phi^*) [\cos m \lambda \cos m \lambda^* + \text{sen } m \lambda \text{sen } m \lambda^*].$$

Para obter as variações de  $r^*$ ,  $\phi^*$  e  $\lambda^*$ , deve-se expressá-los em função dos elementos keplerianos. Faz-se esta transformação, efetuando-se rotações sobre os ângulos de Euler ( $\Omega^* - \theta$ ),  $I^*$  e  $(\omega^* + f^*)$ , dividindo-se os harmônicos  $P_{\ell m} (\text{sen } \phi^*) [\cos m \lambda^*]$  ou  $P_{\ell m} (\text{sen } \phi^*) [\text{sen } m \lambda^*]$  em  $\ell + 1$  termos, e substituindo-se  $r^*$  e  $f^*$  por  $a^* - M^*$ , respectivamente, para:

$\Omega^*$  = longitude do nodo ascendente,

$\theta$  = tempo sideral,

$I$  = inclinação,

$\omega^*$  = argumento do perigeu,

$f^*$  = anomalia verdadeira,

$a^*$  = semi-eixo maior,

$M^*$  = anomalia média,

onde:

$$(3) W = \frac{G m^*}{a^*} \sum_{\ell=2}^{\infty} \left( \frac{r}{a^*} \right)^{\ell} \sum_{m=0}^{\ell} \frac{(\ell-m)!}{(\ell+m)!} (2 - \delta_{om}) P_{\ell m} (\text{sen } \phi).$$

$$\sum_{p=0}^{\ell} F_{\ell mp} (I^*) \sum_{q=-\infty}^{\infty} G_{\ell pq} (e^*) \left[ \cos m \lambda \begin{cases} \cos \\ \sin \end{cases} (\ell - m) \text{ par} \right. \\ \left. + \sin m \lambda \begin{cases} \sin \\ -\cos \end{cases} (\ell - m) \text{ ímpar} \Psi_{\ell pqm} \right],$$

onde:

$$\Psi_{\ell pqm} = \{ (\ell - 2p)\omega^* + (\ell - 2p + q) M^* + m(\Omega^* - \theta) \},$$

$$(4) F_{\ell mp} (I^*) = \sum_{t=0}^{p,k} \frac{(2\ell - 2t)!}{t! (\ell - t)! (\ell - m - 2t)! 2^{2\ell - 2t}} \text{sen}^{\ell - m - 2t} I^*.$$

$$\sum_{s=0}^m \binom{m}{s} \cos^s I^* \sum_{c=2}^{\lfloor \frac{\ell-p-t}{2} \rfloor} \binom{\ell-m-2t-s}{c} \binom{m-s}{p-t-c} (-1)^{c-k},$$

e

$$(5) G_{\ell pq} (e^*) = (-1)^{|q|} (1 + \beta)^{2\ell} \beta^{|q|} \sum_{k=0}^{\infty} P_{\ell p q k} Q_{\ell p q k} \beta^{2k},$$

onde por sua vez:

$$(6) \beta = \frac{e}{1 + \sqrt{1 - e^2}},$$

$$(7) P_{\ell p q k} = \sum_{r=0}^h \binom{2p' - 2\ell}{h-r} \frac{(-1)^r}{r!} \left[ \frac{(\ell - 2p' + q')e}{2\beta} \right]^r p / \begin{cases} h = k + q' \text{ se } q' > 0 \\ h = k \text{ se } q' < 0 \end{cases}$$

$$(8) Q_{\ell p q k} = \sum_{r=0}^h \binom{-2p'}{h-r} \frac{1}{r!} \left[ \frac{(\ell - 2p' + q')e}{2\beta} \right]^r p / \begin{cases} h = k \text{ se } q' > 0 \\ h = k - q' \text{ se } q' < 0 \end{cases}$$

para:

$$(9) \begin{cases} p' = p & \text{se } p \leq \frac{\ell}{2} \\ q' = q & \end{cases} \text{ e } \begin{cases} p' = \ell - p & \text{se } p > \frac{\ell}{2} \\ q' = -q & \end{cases}.$$

Desenvolvendo-se as multiplicações das funções trigonométricas da Expressão 3, pode-se escrever:

$$(10) \quad W = \sum_{\ell, m, p, q} W_{\ell, m, p, q}(r),$$

onde:

$$(11) \quad W_{\ell, m, p, q}(r) = B_{\ell m}^* C_{\ell mpq}^* P_{\ell m}(\text{sen } \phi) \begin{cases} \cos \{\ell - m\} & \text{par} \\ \text{sen} \{\ell - m\} & \text{ímpar} \end{cases} \{V_{\ell mpq}^* - m(\lambda - \theta)\}$$

para:

$$(12) \quad B_{\ell m}^* = Gm^* \frac{(\ell - m)!}{(\ell + m)!} (2 - \delta_{om}) \quad C_{\ell mpq}^* = \frac{1}{(a^*)^{\ell + 1}} F_{\ell mp}(L^*) G_{\ell pq}(e^*)$$

$$(13) \quad V_{\ell mpq}^* = (\ell - 2p)\omega^* + (\ell - 2p + q)M^* + m \Omega^*.$$

A deformação da Terra pelo potencial  $W_{\ell mpq}(r)$  tem como consequência um potencial perturbador  $U_{\ell mpq}(r)$ , o qual na superfície é proporcional a  $k_{\ell} W_{\ell mpq}(r)$ ; onde  $k_{\ell}$  é o número de Love para o potencial.

O fato da Terra não ser um corpo "perfeitamente elástico" faz surgir um "ângulo de defazagem"  $\epsilon_{\ell mpq}$  entre  $U_{\ell mpq}(r)$  e  $W_{\ell mpq}(r)$ . A Figura 3 mostra a natureza do atrito devido às marés.

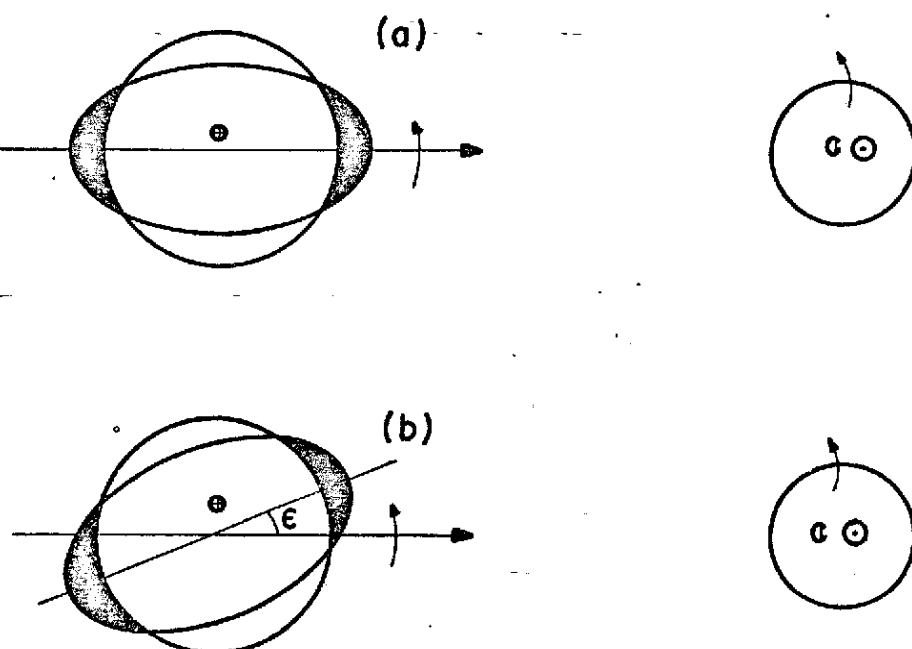


Fig. 3 - Ângulo de defasagem  $\epsilon$ , devido ao atrito interno na Terra.

Na Figura 3, em (a) tem-se a elevação máxima está sobre a reta que liga os centros "Terra-corpo perturbador", e devido à simetria não há torque, e em (b) supõe-se que a deformação esteja sujeita a atritos internos, e a rotação própria da Terra carrega a protuberância para frente, deslocando a maré máxima, o que produz um momento.

O potencial perturbador  $U_{\text{empq}}(r)$  é um harmônico de  $\ell$ -ésimo grau, o que significa que no exterior (fora do planeta) ele deve ser proporcional a  $r^{-(\ell+1)}$ , donde:

$$(14) U_{\text{empq}}(r) = k_\ell \left[ \frac{R}{r^*} \right] W_{\text{empq}}(R) ,$$

onde  $R$  é o "raio médio" da Terra.

Se não houver uma "não linearidade" significante, o potencial na superfície pode ser escrito em função de  $r = R$ , donde:

$$(15) U_{\text{empq}}(R) = k_\ell R^\ell B_{\ell m}^* C_{\text{empq}}^* P_{\ell m}(\text{sen } \phi) \begin{cases} \cos \\ \text{sen} \end{cases} \begin{cases} (\ell - m) & \text{par} \\ (\ell - m) & \text{ímpar} \end{cases} . \{ V_{\text{empq}} - \epsilon_{\text{empq}} - m(\lambda + \phi) \} .$$

$k_\ell(\phi, \lambda)$  e  $\epsilon_{\text{empq}}(\phi, \lambda)$  podem ser representados na forma de harmônicos esféricos.

No caso da análise de órbita de satélites artificiais, adota-se  $k_\ell(\phi)$  e  $\epsilon_{\text{empq}}(\phi)$  como funções apenas da latitude, isto é:

$$(16) k_\ell(\phi) = \sum_h K_{\ell h} P_{\ell h}(\text{sen } \phi)$$

e

$$(17) \epsilon_{\text{empq}}(\phi) = \sum_n \epsilon_{n(\text{empq})} P_{n0}(\text{sen } \phi).$$

Aqui, supõe-se que todos os  $\epsilon_n$  sejam suficientemente pequenos para que  $\text{sen } \epsilon_{\text{empq}} = \epsilon$  e  $\cos \epsilon_{\text{empq}} = 1$ , caso em que o potencial na superfície pode ser escrito da seguinte maneira:

$$(18) \bar{U}(R) = \sum_{\ell, m, p, q, h, n} S_{\text{empq}}^* K_{\ell h} P_{\ell h}(\text{sen } \phi) P_{n0}(\text{sen } \phi) .$$

$$\cdot \begin{cases} \cos \\ \text{sen} \end{cases} \begin{cases} (\ell - m) & \text{par} \\ (\ell - m) & \text{ímpar} \end{cases} \{ V_{\text{empq}}^* - m(\lambda + \phi) \} +$$

$$+ \epsilon_n P_{no} (\operatorname{sen} \phi) \begin{cases} \operatorname{sen} & (\ell - m) \text{ par} \\ -\cos & (\ell - m) \text{ ímpar} \end{cases} \left[ V_{\ell mpq}^* - m(\lambda + \phi) \right] ,$$

onde:

$$(19) S_{\ell mpq}^* = R^\ell B_{\ell m}^* C_{\ell mpq}^*$$

Substituindo-se  $P_{\ell m}(\operatorname{sen} \phi)$   $P_{jo}(\operatorname{sen} \phi)$  por  $\sum_{k=m}^{\ell+j} Q_{\ell jkm} P_{km}(\operatorname{sen} \phi)$  na (18), para  $r > R \rightarrow$  (no exterior),

$$(20) U(r) = \sum_{\ell, m, p, q, h, n, k, s} S_{\ell, m, p, q}^* K_{\ell h} Q_{\ell hk w} .$$

$$\cdot \left[ \left( \frac{R}{r} \right)^{k+1} P_{km}(\operatorname{sen} \phi) \begin{cases} \cos & (\ell - m) \text{ par} \\ \operatorname{sen} & (\ell - m) \text{ ímpar} \end{cases} \{ V_{\ell mpq}^* - m(\lambda + \phi) \} + \right. \\ + \epsilon_n Q_{knsm} \left( \frac{R}{r} \right)^{s+1} P_{sm}(\operatorname{sen} \phi) \begin{cases} \operatorname{sen} & (\ell - m) \text{ par} \\ -\cos & (\ell - m) \text{ ímpar} \end{cases} \\ \left. \cdot \{ V_{\ell mpq}^* - m(\lambda + \phi) \} \right] ,$$

que é o potencial perturbador, devido à ação das marés, no exterior da Terra.

### 3. FUNÇÃO PERTURBADORA NO SATELITE

Determinou-se o potencial perturbador no exterior da Terra, e agora deve-se determinar a função perturbadora, tal como ela age no satélite. Na Equação (3), as coordenadas  $(r^*, \phi^*, \lambda^*)$  foram transformadas em elementos keplerianos do corpo perturbador. Para determinar o efeito do potencial  $U(r)$  sobre um satélite artificial, deve-se aplicar uma "transformação de semelhança" sobre o potencial, utilizando-se a conversão usual das coordenadas esféricas  $(r, \phi, \lambda)$  do satélite em elementos keplerianos da órbita.

Aplicando-se esta transformação sobre a Expressão (20), obtém-se:

$$(21) U(r) = \sum_{\ell, m, p, q, h, n, k, j, g} S_{\ell mpq}^* K_{\ell h} Q_{\ell hk m} \left[ \left( \frac{R}{a} \right)^{k+1} F_{kmj}(I) . \right. \\ \left. \cdot G_{kjg}(e) \begin{cases} \cos & (k - \ell) \text{ par} \\ (-1)^m \operatorname{sen} & (k - \ell) \text{ ímpar} \end{cases} \{ V_{kmjg} - V_{\ell mpq}^* \} \right. +$$

$$+ \epsilon_n Q_{knsm} \left[ \frac{R}{a} \right]^{k+1} F_{kmj}(I) G_{kjg}(e) \begin{cases} -\sin & (k-\ell) \text{ par} \\ (-1)^m \cos & (k-\ell) \text{ ímpar} \end{cases} \\ \cdot \{ V_{kmjg} - V_{2mpq}^* \} \Big]$$

Para a análise de perturbações devidas às marés em satélites artificiais, é necessário que:

- a) não haja termos de curto período,  $\Rightarrow g = 2j - k$ ;
- b) o fator de amortecimento  $(a^{*\ell+1})^{-1}$  seja pequeno  $\Rightarrow \ell = 2$ .

Consequentemente, a Equação (21) é escrita da seguinte maneira:

$$(22) U(r) = \sum_{m,p,q,h,j} S_{2mpq}^* \left[ \frac{R}{a} \right]^{k+1} F_{kmj}(I) G_{kj(2j-k)}(e) Q_{2hkm} \\ \cdot \left[ K_{2h} \begin{cases} \cos & k \text{ par} \\ (-1)^m \sin & k \text{ ímpar} \end{cases} \right] \{ V_{kmj(2j-k)} - V_{2mpq}^* \} + \\ + (k_\ell \epsilon_h) \begin{cases} -\sin & k \text{ par} \\ (-1)^m \cos & k \text{ ímpar} \end{cases} \{ V_{kmj(2j-k)} - V_{2mpq}^* \} ,$$

que é a função perturbadora, tal como ela atua no satélite

$$(k_\ell \epsilon_h) = K_{2h} \sum \epsilon_n Q_{knsm}.$$

Para determinar a perturbação sofrida pelos elementos orbitais, devida às marés, utilizam-se as equações diferenciais clássicas para a variação de constantes, isto é:

$$(23) \frac{d\delta I}{dt} = - \frac{1}{na^2 \sqrt{1-e^2} \sin I} \frac{\partial U}{\partial \Omega} ,$$

$$(24) \frac{d\delta \Omega}{dt} = \frac{1}{na^2 \sqrt{1-e^2} \sin I} \frac{\partial U}{\partial I} ,$$

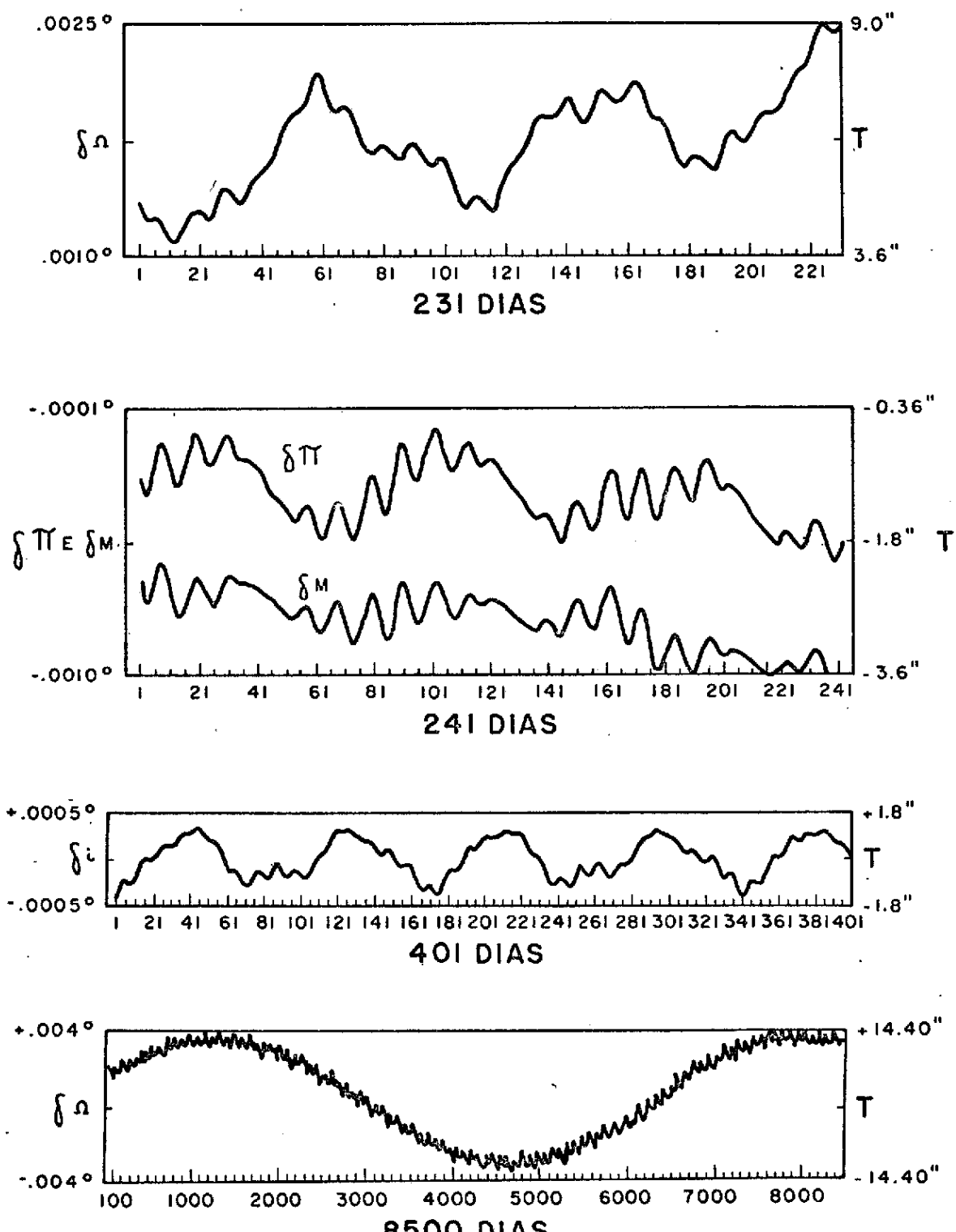
$$(25) \frac{d\delta \pi}{dt} = \frac{1 - \cos I}{na^2 \sqrt{1-e^2} \sin I} \frac{\partial U}{\partial I} + \frac{\sqrt{1-e^2}}{na^2 e} \frac{\partial U}{\partial e} ,$$

$$(26) \frac{d\delta M}{dt} = - \frac{1 - e^2}{na^2 e} \frac{\partial U}{\partial e} - \frac{2}{na^2} \left( a \frac{\partial U}{\partial a} \right) ,$$

as quais podem ser resolvidas por um método analítico ou por um método numérico.

Os elementos mais afetados pelas marés terrestres são "I" e "\Omega".

Os gráficos apresentados na Figura 4 são o resultado de integrações numéricas para o satélite BE-C [ 4 ].



SATÉLITE BE - C  
 $k_2 = 0.3$

Fig. 4 - Perturbações no satélite BE-C, devidas às marés.

#### 4. CONCLUSÕES

Um dos problemas encontrados é a escolha dos valores adequados, isto é, mais corretos de " $\epsilon$ " e de " $k_2$ ".

Newton e Kozai encontraram, com dados de satélites do sistema TRANET, os seguintes valores:

- a) Newton [ 6 ] encontrou valores que variam de  $\epsilon = 0,7^\circ$  a  $\epsilon = 2,5^\circ$  para precisões de  $\pm 0,8^\circ$ ;  $k_2 = 0,28$  a  $k_2 = 0,44$  para uma precisão de  $\pm 0,03$ ;
- b) Kozai [ 2 ] encontrou valores que variam de  $\epsilon = 0^\circ$  a  $\epsilon = 9^\circ$  para precisões de  $\pm 5^\circ$ ;  $k_2 = 0,23$  a  $k_2 = 0,33$  para uma precisão de  $\pm 0,03$ ;
- c) Newton [ 5 ], com dados dos satélites 1963 498 e 38C encontrou:  
 $\epsilon = -8,5^\circ \pm 2,5^\circ$  p/ 1963 49B  
 $\epsilon = -2,2^\circ \pm 2,2^\circ$  p/ 1963 38C.

Nos trabalhos, baseados na observação de satélites artificiais, efetuados por Kaula [ 1 ] e Newton [ 5 ], [ 6 ], Kozai [ 2 ], e Musen e Estes [ 4 ], os resultados obtidos divergem entre si, não sendo possível concluir nada de concreto sobre a grandeza das perturbações na órbita de satélites artificiais, devidas às marés.

#### 5. REFERÊNCIAS BIBLIOGRÁFICAS

- [ 1 ] KAULA. Tidal direction with latitude-dependent amplitude and phase angle. *The astronomical Journal*, 74(9): 1108-14, Nov. 1969.
- [ 2 ] KOZAI, Y. Love's number of the earth derived from satellite observations.
- [ 3 ] MUSEN, P. A semi-analytical method of computation of oceanic tidal perturbation in the motion of artificial satellites. Greenbelt, MD, GSFC, 1973. (GSFC-X-590-73-190).
- [ 4 ] MUSEN, P; ESTES, R. On the tidal effects in the motion of artificial satellites. *Celestial Mechanics*, 6(1): 4-21, July, 1972.
- [ 5 ] NEWTON, R.R. An observation of the satellites perturbation produced by the solar-tide. *Journal of Geophysical Research*, 70(24): 5983 - 89, Dec. 1965.
- [ 6 ] NEWTON, R.R. A satellite determination of tidal parameters and earth deceleration. *The Geophysical Journal*, 14(4): 505-39, Aug. 1967.